

مقایسه بین اثرات انسولینوتروپیک میلرینون و آمیرینون، مهارکننده های

انتخابی PDE₃، در شرایط برون تنی و درون تنی

*دکترسید محمد رضا پریزاده، **دکتر رضا شفیع نیک، ***دکتر مهین زهرایی

*گروه بیوشیمی دانشکده پزشکی، دانشگاه علوم پزشکی مشهد

**گروه فارماکولوژی دانشکده پزشکی، دانشگاه علوم پزشکی مشهد

***گروه بیوشیمی دانشکده پزشکی، دانشگاه علوم پزشکی تهران

خلاصه

در تحقیق حاضر اثر دو داروی میلرینون و آمیرینون، مهارکننده های انتخابی PDE₃ بر ترشح انسولین در شرایط درون تنی (in vitro) با استفاده از روشهای استاتیک (انکوبیشن جزایر لانگرهانس رت و نیز سلولهای مترشحه انسولین کشت داده شده CRI-D2) و دینامیک (پرفیون جزایر) و نیز در شرایط درون تنی (in vivo) مورد بررسی قرار گرفت. در انکوبیشن جزایر، گلوکز با غلظت ۱۰ mM موجب تحریک ترشح انسولین گردید. میلرینون با غلظت 10^{-4} M به طور معنی دار ترشح انسولین القاء شده به وسیله گلوکز را افزایش داد ($p < 0/05$). در حالیکه اثر آمیرینون، مهارکننده انتخابی PDE₃ دیگر، معنی دار نبود. افزودن غلظت های مختلف میلرینون به محیط حاوی ۱۰ mM گلوکز، موجب افزایش وابسته به دوز ترشح انسولین شد ($ED_{50} = 9 \mu M$). در منحنی دوز-پاسخ آمیرینون، غلظت های متفاوت این دارو ایجاد اثر معنی دار نکردند. مقدار ترشح انسولین سلولهای CRI-D2 در حضور گلوکز ۱۰ mM بسیار پائین بود و گلوکز با غلظت ۱۰ mM افزایش معنی دار در ترشح انسولین ایجاد نکرد. ولی افزودن میلرینون با غلظت 10^{-4} M به ۱۰ mM گلوکز مقدار ترشح انسولین را افزایش داد.

در شرایط درون تنی میلرینون موجب افزایش وابسته به دوز غلظت انسولین پلاسما شد ($p < 0/05$). در حالیکه آمیرینون در همان دوزهای به کار برده شده نه فقط ترشح انسولین را افزایش نداد بلکه آن را ظاهراً کاهش داده است. در مجموع تغییرات ایجاد شده توسط آمیرینون معنی دار نبود ($p < 0/05$).

با توجه به تفاوت IC_{50} گزارش شده برای میلرینون و آمیرینون در مهار PDE₃، در این تحقیق اثر میلرینون می تواند تأیید کننده گزارشات قبلی در مورد اثر انسولینوتروپیک داروهای مهارکننده PDE₃ باشد. متفاوت بودن اثر آمیرینون در مقایسه با میلرینون می تواند ناشی از متغیر بودن اثر داروهای مهارکننده PDE در بافتهای مختلف (tissue specificity) یا وجود مکانیسمهای دیگر در تقویت اثر گلوکز توسط داروهای مهارکننده انتخابی PDE₃ باشد.

کلمات کلیدی: آمیرینون، انسولینوتروپیک، میلرینون، PDE₃

مقدمه

مقایسه با عملکرد این سلولها در ساختمان جزایر لانگرهانس وجود ارتباط بین سلولهای بتا و سلولهای آلفای مولد گلوکاگون) منجر به اظهار این نظریه شده است که وجود غلظت های بازال CAMP در سلولهای مترشحه انسولین لازمه ترشح فیزیولوژیک این سلولهاست. امروزه تئوری کاهش فعالیت سیستم مبدل سیگنال وابسته به CAMP در سلولهای

در سلولهای مترشحه انسولین CAMP یک تقویت کننده مهم اثر گلوکز در القاء ترشح انسولین محسوب می شود (۱۷). افزایش ترشح هورمونهای (gastrin inhibitory peptide) GIP و GLP-1 (glucagon-like peptide-1) همزمان با افزایش جذب گلوکز از دستگاه گوارش (۱۷) و نیز بی کفایتی سلولهای بتای خالص شده در پاسخ به گلوکز و رسیدی در

روش کار

الف- روش کار در مطالعات برون تنی

تهیه جزایر (Preparation of islets)

موش‌های صحرایی نر، از نوع Sprague-Dawley، با اوزان ۲۵۰ تا ۳۵۰ گرم تحت رژیم غذایی نرمال، تا زمان انجام آزمایش، نگهداری شده‌اند. در هر آزمایش، دو موش صحرایی پس از تزریق 80 mg.kg^{-1} تیوپنتال به داخل حفره شکمی، بیهوش و پانکراس با استفاده از محلول کریس-بیکربنات (حاصل از 0.9 mM MgSO_4 ، $0.2/5 \text{ mM CaCl}_2$ ، $1/2 \text{ mM KH}_2\text{PO}_4$ ، $4/7 \text{ mM KCl}$ ، 94 mM NaCl ، 25 mM NaHCO_3 ، $5/6 \text{ mM Glucose}$ ، این محلول قبل از آزمایش توسط مخلوط گازی $95\% \text{ O}_2$ ، $5\% \text{ CO}_2$ اشباع و pH آن در حد $7.35/7.45$ تنظیم گردیده است)، متسع و جدا گردید و سپس جزایر لانگرهانس با استفاده از روش تعدیل شده Lacey & Kostianovsky حاصل گردیدند (۱۵). به این ترتیب که پانکراس‌های جدا شده به قطعات $1-2 \text{ mm}$ خرد، توسط کلاژناز در درجه حرارت 37°C هضم گردیدند. جزایر لانگرهانس حاصله پس از چند بار شستشو توسط کریس، دست‌چین و به محلول انکویشن (محلول کریس حاوی گلوکز 3 mM ، فومارات، پیرووات و گلوکاتامات هر یک 5 mM و آلبومین سرم گاوی 3 mg ml^{-1}) منتقل و در طول آزمایش در حرارت 4°C نگهداری شدند.

اندازه‌گیری ترشح انسولین به روش استاتیک

جزایر لانگرهانس جدا شده در دسته‌جات ۵-تایی درون ویالهای شیشه‌ای ته‌گرد سیلیکونایز شده قرار داده شد. یک میلی‌لیتر محلول انکویشن حاوی 3 mM گلوکز به هر ویال اضافه گردید. ویالها به مدت ۳۰ دقیقه در دمای 37°C و جریان مداوم مخلوط گازی $95\% \text{ O}_2$ ، $5\% \text{ CO}_2$ انکوبه شدند. سپس محلول رویی هر ویال را به طور کامل برداشته، 1 ml محلول انکویشن حاوی 3 mM یا 10 mM گلوکز همراه یا بدون دارو به آن اضافه گردید. ویالها مجدداً در همان شرایط

مترشحه انسولین به عنوان مکانیسم اصلی در فرایند غیرحساس شدن این سلولها به گلوکز در بیماران مبتلا به دیابت تیپ ۲ (NIDDM) مطرح شده است. (۴، ۶، ۱۱).

سیکلیک نوکلئوتید فسفو دی استرازها (PDEs) مجموعه چندین گروه متفاوت آنزیمی هستند که به طور اختصاصی تیپولیز cAMP و cGMP را کاتالیز می‌نمایند (۱). این ایزوآنزیم‌ها بر اساس ساختمان و توالی DNA در حال حاضر به ده دسته کاملاً متفاوت تقسیم شده‌اند و با نام‌های PDE_1 ، PDE_2 و PDE_{10} مشخص می‌شوند. این ایزوآنزیم‌ها دارای تفاوت‌های مهم کاتالیتیکی نیز می‌باشند. به طوریکه PDE_1 با کلسیم-کالمودولین و PDE_2 با cGMP تحریک می‌شوند در حالیکه PDE_3 با cGMP مهار می‌گردد. PDE_4 و PDE_5 دارای میل ترکیبی بالا به ترتیب به cAMP و cGMP می‌باشند (۱). انواع PDE_8 ، PDE_9 و PDE_{10} اخیراً کشف و اختصاصات آنها بیان شده است (۱۶). تفاوت انتشار این ایزوآنزیم‌ها در بافت‌های گوناگون و تفاوت ساختمان شیمیایی داروهای مهارکننده انتخابی آنها موجب مطرح شدن امکان کاربرد بالینی این داروها شده است. اطلاعات موجود از ایزوآنزیم‌های PDE در سلولهای مترشحه انسولین مبین احتمال وجود PDE_1 ، PDE_3 و PDE_5 در این سلولها می‌باشد.

مطالعات قبلی نشان می‌دهد که با استفاده از داروهای مهارکننده انتخابی PDE_3 می‌توان ترشح انسولین را افزایش داد (۲، ۱۲، ۱۳، ۱۴ و ۱۵) و اثر تحریکی تجویز خوراکی میلرینون بر غلظت انسولین پلاسمایی موش نشان داده شده است (۱۰).

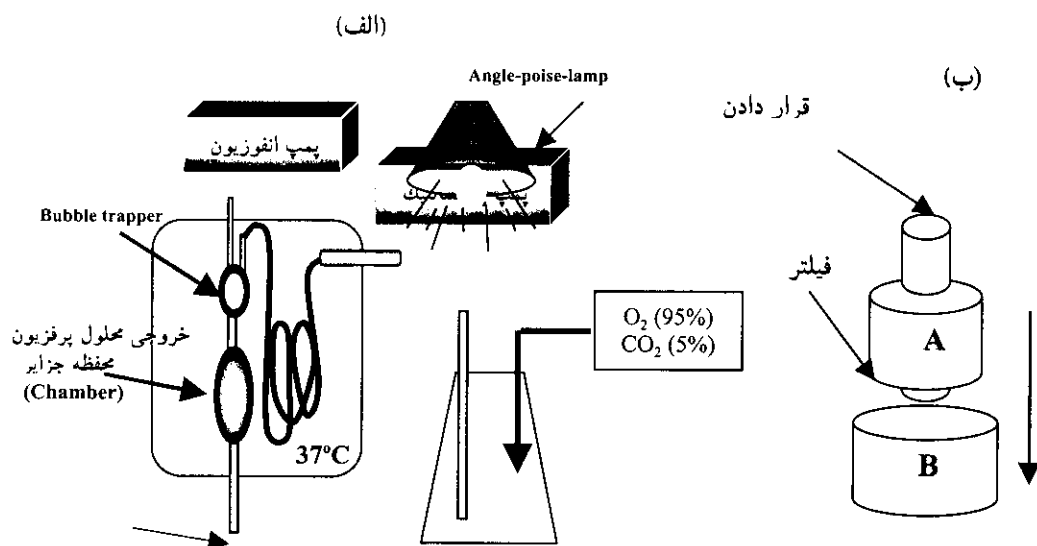
در این تحقیق اثر میلرینون و آمترینون، دو داروی مهارکننده انتخابی PDE_3 ، بر روی ترشح انسولین از جزایر لانگرهانس جدا شده رت و سلولهای مترشحه انسولین-CRI-D2 و نیز اثر سینرژسم تجویز خوراکی گلوکز و این داروها بر غلظت گلوکز و انسولین پلاسمای موش مورد بررسی قرار گرفته است.

باقی نماید. سپس چمبرها به سیستم پرفزیون متصل گردیدند. پمپ پرستالتیک، محلول انکویشن حاوی ۳ mM گلوکز را با سرعت ثابت ۱ ml/min عبور می داد. روشن کردن پمپ انفوزیون موجب افزوده شدن محلول گلوکز هیپرتونیک (تبدیل محلول پرفزیون از ۳ mM به ۱۰ mM گلوکز) همراه یا بدون دارو گردید. دمای محلول پرفزیون قبل از گذشتن از چمبر با استفاده از گرمای لامپ ۱۰۰ وات (Angle-raise-lamp) و عبور از حمام آب در حد ۳۷°C تنظیم شده است. در خلال آزمایش در فواصل زمانی مناسب از محلول خروجی سیستم نمونه برداری و به روش فوق الذکر منجمد گردید انسولین موجود در نمونه ها به روش RIA تعیین و برحسب مقدار μU انسولین ترشح شده از ۱۰۰ جزیره در مدت یک دقیقه گزارش گردیده است.

قبل از مدت یکساعت انکوبه گردیدند. در پایان انکویشن، ۵۰ μL از محلول انکویشن برداشته و همراه با بافر فسفات (شامل تیومرسال، BSA، $\text{pH}=7/4$) منجمد گردیدند. مقدار انسولین هر نمونه به روش RIA تعیین گردید... نتایج به صورت μU انسولین ترشح شده توسط هر جزیره در طی یک ساعت گزارش شده است.

اندازه گیری ترشح انسولین به روش دینامیک (پرفزیون جزایر)

در این بخش از آزمایشات، ترشح انسولین در یک سیستم پرفزیون دو کاناله بررسی گردید (شکل ۱). ۱۰۰ عدد جزیره روی فیلتر هر چمبر قرار داده شد و سپس چمبر توسط محلول کریس کاملاً پر گردید به نحوی که هیچگونه هوایی در محفظه



شکل ۱:

الف) سیستم پرفزیون جزایر لانگرهانس مورد استفاده دو کاناله بوده که در شکل فوق برای سادگی به صورت یک کاناله نمایش داده شده است. بافر کریس حاوی گلوکز ۳ میلی مولار توسط ۹۵٪ O₂ و ۵٪ CO₂ اشباع و $\text{pH} = 7/4$ تنظیم شد و در مدت پرفزیون تحت جریان ملایم مخلوط گازی مذکور قرار داشت. پمپ پرستالتیک محلول کریس را با سرعت ۱ میلی لیتر در دقیقه از محفظه جزایر عبور داد. روشن کردن پمپ انفوزیون موجب افزودن محلول گلوکز هیپرتونیک همراه یا بدون دارو به مسیر جریان گردید که در نتیجه آن محلول کریس به محلول حاوی گلوکز ۱۰ میلی مولار همراه یا بدون 10^{-4} M تبدیل شد. Bubble trapper موجب حذف حبابهای ایجاد شده گردیده است. ب) محفظه جزایر (Chamber) مطابق شکل ب از بدنه دو سرنگ قطع شده با گنجایش حجمی ۰/۵ میلی لیتر ساخته شد. دهانه بخش A توسط نیلتر نایلونی دارای منافذ با قطر حدود ۱۰ میکرومتر پوشانده و با داخل شدن در بخش B توسط چسب PVC فیکس گردید.

کشت سلول

در پایان میزان انسولین هر نمونه به روش RIA و گلوکز آن با دستگاه RA1000 اندازه گیری شد.

مواد شیمیایی و داروها

داروهای مورد استفاده از طریق واسطه های داخل کشور

از آدرسهای ذیل تهیه گردیده است:

Collagenase type IV.C-5138,(Sigma chemical co. poole;dorsel),Bovine Serum Albumin, (BSA RIA-grade A-7888, Sigma), Dimethyl sulfoxide,D-2950(DMSO, Sigma), milrinone (1,6 Dihydro -2-methyl-6 oxo- 3, 4-bipyridine-5-carbonitril), M-4659, (Sigma) Amrinone (5-Amino-[3,4 bipyridin]-6[1H]-One) (A-4056, Sigma chemical co. poole;dorsel), Trypsin (Sigma), Thiomersal (Ethylmercurithiosalicylate) (Sigma), SIGMAcote (SL-2, Sigma), IBMX (3- isobutyl-1-methylxanthine) M-4659 (Fluka), Thiopental (Biochemic GmbH), Pyruvic acid (MERCK), L-glutamic acid (MERCK), Fumaric acid (SERVA), (DMEM, GIBCO), CRI-D2 -cell line (ECACC), Fetal Calf Serum, (FCS, GIBCO), Insulin Kit DLS - 1600 (شرکت کاوشیار، تهران) 1600 - DLS.

تجزیه و تحلیل آماری

نتایج به صورت میانگین \pm متوسط خطای استاندارد (SEM) گزارش گردیده است. مقادیر تعداد مشاهدات (n) value نشان دهنده دفعات تکرار آزمایشات می باشد. برای مشخص نمودن معنی دار بودن تفاوت اعداد، از روش آنالیز واریانس (ANOVA) استفاده شده است.

شایان ذکر است در این تحقیق مقادیری از نظر آماری معنی دار (significant) در نظر گرفته شده اند که حداقل درجه اطمینان ۹۵٪ را داشته اند، به عبارت دیگر میزان عدم اطمینان کمتر از ۵٪ بوده است ($p < 0/05$).

نتایج

الف) تشریح انسولین از جزایر لانگرهانس جدا شده در انکوبیشن جزایر لانگرهانس در حضور گلوکز ۳ میلی مولار، میلرینون تغییری در تشریح انسولین ایجاد نکرد (جدول ۱). در این شرایط آمیرینون در غلظتهای پائین فاقد اثر بود در

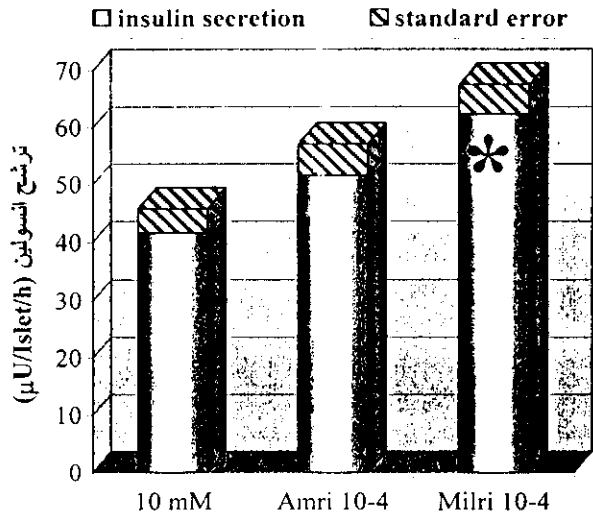
در هر آزمایش سلولهای مترشحه انسولین CRI-D2 در شرایط استریل در محیط DMEM به مدت ۵ روز در دمای 37°C در CO_2 انکوباتور کشت شدند. در این مدت سلولهای مذکور که وابسته به بستر هستند تکثیر یافته توانسته اند سطح فلاسک ۲۵ml را به طور کامل بپوشانند. در این مرحله محیط کشت هر فلاکس تخلیه و سلولها با محلول مورد آزمایش شستشو داده شدند. سپس ۵ میلی لیتر محلول بافر کربس حاوی ۳mM یا ۱۰mM گلوکز همراه یا بدون دارو به هر فلاکس اضافه گردید و سپس به مدت یک ساعت در CO_2 انکوباتور قرار داده شد. در پایان از محلول رویی نمونه برداری و به همراه بافر فسفات منجمد شد و مقدار انسولین موجود به روش RIA مشخص گردید.

ب- روش کار در مطالعات درون تنی

این مطالعات بر روی موشهای سفید کوچک (balb-C)، با وزن متوسط ۲۵g انجام گردید، موشها تحت رژیم غذایی نرمال نگهداری و ۱۸ ساعت قبل از آزمایش ناشتا شدند.

داروهای مورد استفاده در DMSO حل و به وسیله نرمال سالین تا غلظت مشخص رقیق شدند به گونه ای که غلظت DMSO در محلول نهایی ۱٪ گردید.

در هر آزمایش گلوکز با دوز ۲g/Kg از راه دهان به وسیله Animal feeding به حیوان خورانده شد. پس از نیم ساعت دارو با دوز مورد نظر به صورت I.P. تزریق گردید. ۲۵ دقیقه پس از تزریق دارو، هر موش، داروی بیهوش کننده رامپون (xylazine) را نیز به صورت I.P. دریافت نمود. سه دقیقه بعد (۲۸ دقیقه پس از تزریق دارو) سریعاً قفسه سینه حیوان باز گردید و با استفاده از سرنگ ۲ میلی لیتری از قلب حیوان ۱ تا ۱/۵ میلی لیتر خونگیری شد. خون گرفته شده، پس از مدتی تأمل و جدا کردن لخته سطحی آن، سانتریفوژ گردید. سرم حاصله به آرامی با پی پست پاستور مکیده به یک لوله اپی ندورف منتقل شد و سریعاً منجمد گردید.

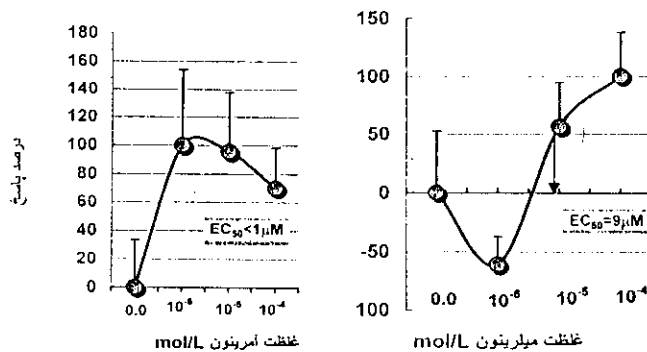


نمودار ۱: مقایسه اثر غلظتهای 10^{-4} مولار میلرینون و آمترینون بر ترشح انسولین از جزایر جدا شده جزایر در شرایط مشابه نمودار ۲ در حضور گلوکز 10 میلی مولار همراه با غلظت 10^{-4} مولار میلرینون یا آمترینون و یا بدون دارو انکوبیت شدند.

حالیکه در غلظت 10^{-4} مولار ترشح انسولین را به صورت معنی دار افزایش داد ($P < 0/01$). افزایش گلوکز از 3 میلی مولار به 10 میلی مولار، ترشح انسولین را بیش از سه برابر افزایش داد. میلرینون با غلظت 10^{-4} مولار موجب تقویت ترشح انسولین القاء شده توسط گلوکز 10 میلی مولار شد ($P < 0/01$). ولی آمترینون 10^{-4} مولار افزایش معنی دار در ترشح انسولین ایجاد نکرد (نمودار ۱). اضافه کردن غلظتهای 10^{-6} ، 10^{-5} ، 10^{-4} مولار میلرینون به محیط حاوی 10 میلی مولار گلوکز موجب افزایش وابسته به دوز ترشح انسولین شد ($EC_{50} = 9 \mu M$). در حالیکه با افزودن دوزهای فوق الذکر از آمترینون حداکثر افزایش ترشح انسولین در غلظت 10^{-6} مولار ایجاد شد و در غلظت های بالاتر منحنی پاسخ به دوز سیر نزولی دارد ($EC_{50} < 9 \mu M$ ، نمودار ۲).

جدول ۱: اثر آمترینون و میلرینون بر ترشح انسولین از جزایر لانگرهانس جدا شده در حضور 3 میلی مولار گلوکز

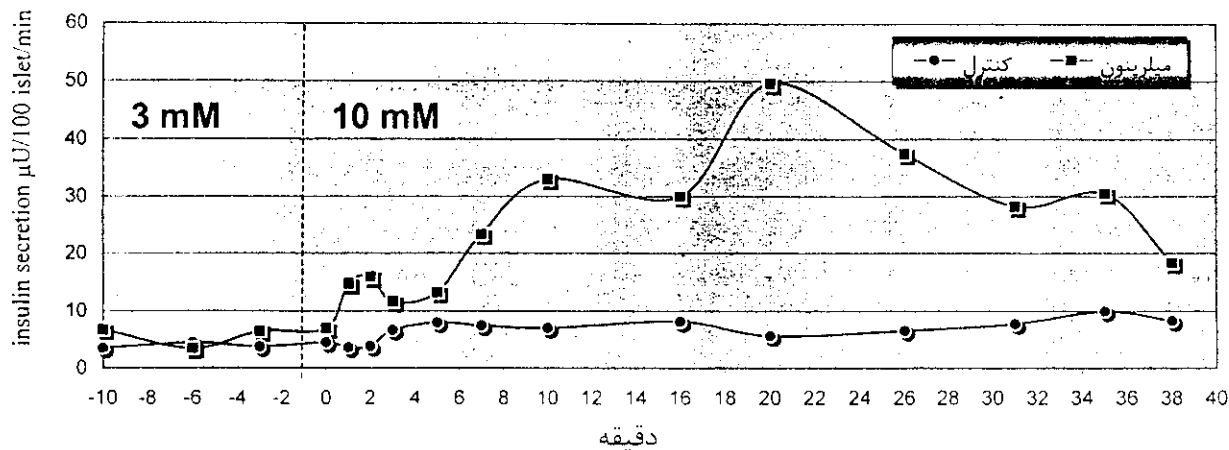
$\mu U/islet/h$	تعداد نمونه	غلظت گلوکز	غلظت آمترینون
$6/09 \pm 0/71$	۶	$3mM$	-
$4/417 \pm 0/62$	۷	$3mM$	$10^{-6}M$
$5/66 \pm 0/15$	۶	$3mM$	$10^{-7}M$
$10/08 \pm 0/15$	۳	$3mM$	$10^{-4}M$



نمودار ۲: منحنی های پاسخ به دوز داروهای میلرینون و آمترینون مهار کننده های انتخابی PDE_3 جزایر لانگرهانس در دستجات پنج تایی در درجه حرارت $37^{\circ}C$ ابتدا به مدت نیمساعت در کربس محتوی 3 میلی مولار پری اینکوبیت و سپس به مدت یک ساعت در حضور گلوکز 10 میلی مولار همراه دارو (غلظتهای $10^{-6}M$ ، $10^{-7}M$ و $10^{-4}M$) یا بدون دارو (غلظت صفر) اینکوبیت شدند. هر نقطه نشان دهنده معدل درصد افزایش ترشح انسولین نسبت به کنترل (غلظت صفر دارو، منحنی میلرینون = $30/51$ ، منحنی آمترینون = $34/96$ $\mu U/islet/h$) و سربارها مشخص کننده مقدار خطای استاندارد هستند. در منحنی میلرینون $P < 0/05$ ولی در منحنی آمترینون $P > 0/05$ است.

$\mu U/islet/h$	تعداد نمونه	غلظت گلوکز	غلظت میلرینون
$11/54 \pm 0/72$	۶	$3mM$	-
$12/24 \pm 0/90$	۷	$3mM$	$10^{-6}M$
$11/44 \pm 0/40$	۶	$3mM$	$10^{-7}M$
$13/8 \pm 0/83$	۴	$3mM$	$10^{-4}M$

جزایر لانگرهانس در دستجات پنج تایی در درجه حرارت $37^{\circ}C$ در کربس محتوی 3 میلی مولار گلوکز ابتدا به مدت نیمساعت پری اینکوبیت و سپس به مدت یک ساعت همراه غلظت های مختلف دارو یا بدون دارو ($3mM$) اینکوبیت شدند. تفاوت های قابل مشاهده بین دو سری آزمایش بدلیل تفاوت در شرایط نگهداری حیوان و اندازه جزایر بوده است. ($M^* 10^{-4}$ آمترینون) اثر آمترینون با غلظت $10^{-4} M$ معنی دار بود. $P < 0/01$, ANOVA.



نمودار ۳: اثر میلرینون بر ترشح انسولین القاء شده توسط ۱۰ میلی مولار گلوکز در پرفوزیون جزایر لانگرهانی رت جزایر لانگرهانس دست چین شده در یک پتری دیش محتوی بافر کریس ، ۳ mM گلوکز در ۴ درجه سانتی گراد قرار داده شد. در هر آزمایش از مجموع این جزایر، دو گروه ۱۰۰ تایی، با رعایت سالم بودن، یکسان بودن اندازه و عدم چسبندگی به ذرات خارجی، انتخاب و هر دسته به داخل محفظه یک چمبر منتقل گردید. سپس هر چمبر توسط بافر کریس پر شده و به سیستم پرفوزیون دو کاناله متصل گردید (شکل ۱). با روشن کردن پمپ پرستالتیک، جریان محلول بافر کریس ، ۳ mM گلوکز با سرعت ۱ ml/min در دمای ۳۷ درجه از روی جزایر عبور نمود. بعد از نیم ساعت در فواصل زمانی مشخص شده در منحنی فوق از محلول خروجی نمونه گیری شد (نمونه های ، ۳ mM ، ۲ دقیقه بعد از روشن کردن پمپ انفوزیون (مقدار محاسبه شده time-lag برای سیستم انفوزیون) اولین نمونه (دقیقه صفر) و سپس بقیه نمونه در زمانهای مشخص شده انجام شد (نمونه های ، ۱۰ mM ، ۱). روشن کردن پمپ انفوزیون موجب تبدیل محلول پرفوزیون از ، ۳ mM گلوکز به ، ۱۰ mM گلوکز همراه یا بدون دارو گردید. در منحنی فوق هر نقطه حاصل از معدل نتایج حاصل از ۲ آزمایش مجزا می باشند.

در پرفوزیون جزایر لانگرهانس، افزایش غلظت گلوکز از ۳ میلی مولار به ۱۰ میلی مولار موجب افزایش سریع ترشح انسولین شد و با تبدیل غلظت گلوکز از ۱۰ میلی مولار به ۳ میلی مولار ترشح انسولین کاهش یافت. افزودن میلرینون موجب تقویت ترشح انسولین القاء شده توسط گلوکز شد (نمودار ۳).

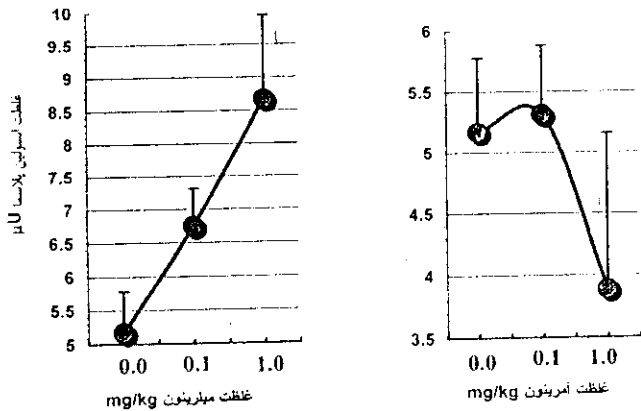
ب) غلظت انسولین و گلوکز در پلاسما

میلرینون موجب افزایش غلظت انسولین پلاسما به صورت وابسته به دوز شد ($p < 0.05$). در حالیکه آمترینون نه فقط موجب افزایش ترشح نشد بلکه در غلظت پلاسما مقدار انسولین پلاسما را کاهش داده است. ولی تغییرات ایجاد شده توسط آمترینون معنی دار نبود ($p > 0.05$). (نمودار ۴).

میلرینون با دوز ۰/۱ و آمترینون با دوزهای ۱ و ۰/۱ میلی گرم/کیلوگرم تغییری معنی دار در غلظت گلوکز پلاسما ایجاد نکردند.

ج) ترشح انسولین در کشت سلولی

مقدار ترشح انسولین توسط سلولهای CRI-D2 در حضور گلوکز ۳ میلی مولار بسیار پائین بود ($0.81 \pm 0.15 \mu U/ml/h$)



نمودار ۴: منحنی های تغییرات غلظت انسولین پلاسما به دوز میلرینون و آمترینون، مهارکننده های انتخابی PDE₃، در شرایط درون تنی به موشهای سوری با اوزان متوسط ۲۵ گرم، محلول گلوکز با دوز ۲ میلی گرم بر کیلوگرم خوراندند. ۳۰ دقیقه بعد ۵ cc داروی مورد نظر با دوزهای ۰/۱ یا ۱ میلی گرم بر کیلوگرم به صورت IP به حیوان تزریق شد. ۲۵ دقیقه بعد، Xylazine به صورت IP تزریق گشته و ۲ تا ۳ دقیقه بعد در حالت کاملاً بیهوشی از قلب حیوان خون گرفته شد.

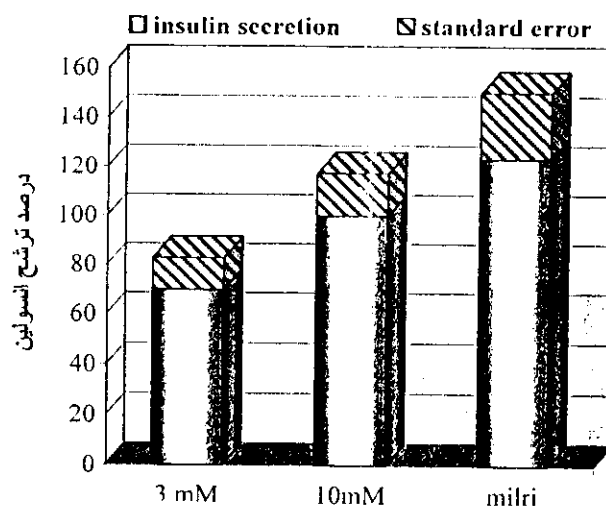
در منحنی های فوق هر نقطه مشخص کننده معدل مقدار انسولین پلاسما ($\mu U/ml$)، ۶ تا ۱۲ نمونه و سربارها نشان دهنده مقدار خطای استاندارد می باشند.

در منحنی میلرینون $P < 0.05$ ولی در منحنی آمترینون $P > 0.05$ است.

نیز لپتین (۱۸) بر ترشح انسولین از طریق فعال شدن PDE_{3B} ایجاد می شود می توان نتیجه گرفت که داروهای مهار کننده PDE_3 با افزایش غلظت cAMP در سلولهای مترشح انسولین موجب تحریک ترشح انسولین می شوند.

در این مطالعه افزایش ترشح انسولین از جزایر لانگرهانس جدا شده توسط میلیتون با غلظت 10^{-4} M و اثر وابسته به دوز این دارو نشان دهنده اثر مستقیم این دارو در تحریک ترشح انسولین است و تأیید کننده گزارشات قبلی در مورد اثر انسولینوتروپیک داروهای مهارکننده PDE_3 است. نزدیک بودن مقدار EC_{50} میلیتون در تحریک ترشح انسولین القاء شده توسط گلوکز (غودار ۲، $9 \mu M$) با مقادیر IC_{50} گزارش شده (۸) این دارو در مهار PDE قلبی (در حدود $6 \mu M$) مشابهت دارد. و تأیید دیگری است بر این استدلال که اثر میلیتون در تحریک ترشح انسولین با وابسته مهار PDE ایجاد شده است. در نظر گرفتن مقدار IC_{50} آمربون در مهار PDE قلبی (۸) در حیوانات مختلف (μM)، سگ=۵۶، خوک=۵۲، راسو=۱۲۶، گریسه=۲۰۸، خوکچه=۱۷۹۰) معنی دار نبودن افزایش غلظت انسولین در غلظت 10^{-4} M آمربون قابل توجیه است. ولی با توجه به اینکه قدرت اثر داروهای مهار کننده PDE در بافتهای مختلف متفاوت است (۸) و مشخص نبودن مقدار IC_{50} میلیتون و آمربون در بافت مترشح انسولین تأیید این مسئله نیاز به مطالعه بیشتر دارد.

اثر کاهنده غلظت پائین میلیتون ($1 \mu M$) بر ترشح انسولین (غودار ۲) و نیز نزدیک بودن این غلظت به مقادیر IC_{50} گزارش شده در مورد این دارو بر روی PDE_3 خالص شده در بافت های دیگر (۷) یعنی مقادیر بین $3 \mu M$ تا $1 \mu M$ قابل تأمل است. جالب توجه اینست که این اثر کاهنده در منحنی دوز-پاسخ SKF 94836 یک داروی مهارکننده انتخابی دیگر نیز دیده شده است (۱۵). از طرفی منحنی دوز-پاسخ آمربون که در آن بالاترین اثر بنظر می رسد در غلظت $1 \mu M$ کاهش سیر منحنی در غلظتهای بالاتر با اثر دیگر داروهای مهار کننده PDE_3 تفاوت دارد. بهر حال می توان از این دو اثر نتیجه



نمودار ۵: اثر میلیتون بر ترشح انسولین از سلولهای CRI-D2. سلولهای CRI-D2 به مدت ۵ روز در محیط DMEM کشت شدند. پس از پر شدن کامل سطح فلاکس ۲۵ میلی لیتری توسط سلولهای مترشح انسولین، محیط کشت را خالی نموده، با بافر کریس بی کربنات حاوی ۳ میلی مولار گلوکز یا ۱۰ میلی مولار گلوکز همراه یا بدون میلیتون به فلاکس افزوده شد. بعد از یک ساعت انکوبیشن در دمای ۳۷ درجه سانتیگراد از مایع رویی جهت اندازه گیری انسولین نمونه برداری شد.

هر ستون نشان دهنده معدل درصد ترشح انسولین ۵ فلاکس کشت و خطای استاندارد آن می باشد.

افزایش غلظت گلوکز به ۱۰ میلی مولار تغییری معنی دار در مقدار انسولین محیط ایجاد نکرد ($1/16 \pm 0/19 \mu U/ml/h$) و با افزایش 10^{-4} مولار میلیتون به محیط، تغییری معنی دار در ترشح انسولین سلولهای CRI-D2 بوجود نیامد (غودار ۵).

بحث

نقش تقوی سیستم مبدل سیگنال وابسته به cAMP در سلولهای مترشح انسولین در پاسخ دهی این سلولها به گلوکز و نقصان این سیستم به عنوان یک مکانیسم احتمالی ایجاد بیماری دیابت نوع II (NIDDM) اثبات شده است (۵ و ۶). در مطالعات قبلی بر روی بافت مترشح انسولین احتمال وجود تنوع در آنزیم های فسفودی استراز (PDE) و نیز اهمیت PDE_3 نشان داده شد (۱۵). بعلاوه اثر تحریکی تعدادی از داروهای مهارکننده انتخابی PDE_3 بر ترشح انسولین گزارش شده است (۲، ۹، ۱۲، ۱۳، ۱۴، ۱۵). با توجه به اینکه اثر مهار $IGF-1$ (insulin-like growth factor 1) (۱۹) و

تفسیر است. اثر میلی‌نئون می‌تواند تأیید کننده گزارشات قبلی در مورد اثر انسولینوتروپیک داروهای مهارکننده PDE₃ باشد. عدم افزایش معنی دار ترشح انسولین توسط آمربینون ممکن است ناشی از انتخابی بودن اثر بافتی این داروها (tissue specificity) و یا درگیر بودن مکانیسمهای دیگر را در تقویت اثر گلوکز در تحریک ترشح انسولین توسط داروهای مهارکننده انتخابی PDE₃ دانست. اثرات آمربینون بر ترشح انسولین بازال و نیز اثرات میلی‌نئون در غلظتهای پائین (10^{-4} M) نیاز به بررسی بیشتر دارد.

تشکر و قدردانی

شایان ذکر است این تحقیق بخشی از پروژه تحقیقاتی (بررسی نقش ایزوآنزیمهای فسفودی استراز نوکلئوتیدهای حلقوی در ترشح انسولین) مصوب معاونت محترم پژوهشی دانشگاه علوم پزشکی مشهد بوده که هزینه های آن توسط آن معاونت تأمین شده است. با توجه به اینکه اکثر داروهای مورد استفاده از خارج تهیه گردید کمکهای معاونت محترم پژوهشی جناب آقای دکتر شمس‌نقش موثری در انجام این طرح داشته است.

مولفین بر خود فرض می‌دانند که از مساعدتهای جناب آقایان دکتر توکلی و دکتر پارسایی و دکتر وارسته در مورد کمکهای فکری این عزیزان و نیز از جناب آقای دکتر آریان تشکر نمایند

ضمناً از مساعدتهای جناب آقای دکتر نسوری از دانشگاه تبریز در تهیه بعضی از اقلام داروی از خارج کشور و جناب آقای دکتر شکری از دانشگاه تهران در تهیه سلولهای مترشحه انسولین تشکر می‌شود.

References

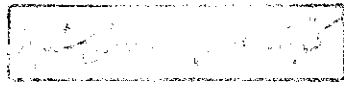
1. Beavo J. A., Conti M. & Heaslip R. J., 1994, Multiple cyclic nucleotide phosphodiesterases, Mol. Pharmacol., 40:339.
2. El - Motwally M., Shafiee - Nick R., Pyne N. J. & Furman B. L., 1997, The effect of selective phosphodiesterase inhibitors on plasma insulin concentrations and insulin secretion in-vitro in the rat, (in press)

گرفت که این داروها علاوه بر مهار PDE₃ اثرات دیگر نیز بر سلولهای مترشحه انسولین دارند.

مطالعه روی تغییرات ترشح انسولین در سلولهای CRI-D2 بدلیل پائین بودن پاسخ دهی سلولها و میزان آزادسازی انسولین مشکل است. ولی افزایش ترشح انسولین که با افزودن میلی‌نئون با غلظت 10^{-4} M به 10 mM گلوکز ایجاد شد می‌تواند تأیید کننده اثر مستقیم این دارو در تحریک ترشح انسولین باشد.

داروهای مهارکننده PDE (۱۵) و نیز هورمونهای GLP-1, GIP (۱۱, ۱۷) با افزایش غلظت cAMP داخل سلولی موجب تحریک ترشح انسولین القاء توسط گلوکز می‌شوند. داروهایی که اثر تحریکی آنها بر ترشح انسولین وابسته به افزایش غلظت cAMP داخل سلولی است تغییری در مقدار ترشح بازال انسولین (در حضور غلظت غیر تحریکی گلوکز، 3 mM) ایجاد نمی‌کنند (۱۵, ۱۷). در این تحقیق در مطالعات *in vivo* استفاده از گلوکز خوراکی برای تحریک آزاد سازی هورمونهای انسولینوتروپیک دستگاه گوارش و ایجاد اثر سینرژیک یا داروهای مهارکننده در تحریک ترشح انسولین استفاده شد. در تجویز میلی‌نئون، افزایش وابسته دوز غلظت انسولین پلاسما را می‌توان بدلیل ایجاد سینرژیک بین دارو و هورمونهای مذکور در تحریک ترشح انسولین القاء شده توسط گلوکز دانست. بهر حال آمربینون در همان دوزهای به کار برده شده نه فقط ترشح انسولین را افزایش نداد بلکه مقدار انسولین را در دوز 10^{-4} M "ظاهراً" کاهش داده است. این تفاوت اثر را می‌توان دلیل دیگری بر وجود مکانیسم ثانوی در ایجاد اثر آمربینون دانست. این مسئله در اثر غلظت بالای آمربینون (10^{-4} M) در افزایش ترشح انسولین در حضور گلوکز 3 میلی مولار (جدول ۱) کاملاً مشخص است.

در پایان می‌توان نتیجه گرفت که با توجه به تفاوت IC₅₀ گزارش شده برای میلی‌نئون و آمربینون در مهار PDE₃، در بافتهای دیگر، تحریک ترشح انسولین توسط میلی‌نئون و عدم ایجاد اثر انسولینوتروپیک توسط آمربینون در این تحقیق قابل



11. Salehi A., Chen D. H., Kanson R., Nordin G., Lundquist I., 1999, Gastrectomy induces impaired insulin and glucagon secretion: evidence for a gastro-insular axis in mice, *J. Physiol. (Lond)*, 514 (Pt 2) 579-91.
12. Shafiee - Nick R., Pyne N. J. & Furman B.L., 1993, Effects of type-specific phosphodiesterase inhibitors on insulin secretion from rat isolated islets, *Diabetes Med.*, 10 (Suppl): S48.
13. Shafiee -Nick. R., El-Metwaly M., Pyne N. J. & Furman B. L., 1994, Effects of isoenzyme-specific Phosphodiesterase inhibitors on insulin secretion in the rat, *Br. J. Pharmacol.*, 112, 369p.
14. Shafiee-Nick R. F.L., London N. J. M., Pyne N. J. & Furman B. L., 1994, Cyclic 3' , 5' AMP Phosphodiesterase in human pancreatic islets, *Diabetic Med.*, 11(Suppl): S31.
15. Shafiee-Nick R., Pyne N. J. & Furman B. L., 1995, Effects of type selective Phosphodiesterase inhibitors on glucose-induced insulin secretion and islet phosphodiesterase activity, *Br. J. Pharmacol.*, 115, 1486.
16. Soderling S.H., & Beavo J. A., 2000, Regulation of cAMP and cGMP signaling: New phosphodiesterases and new functions. *Current Opinion in cell Biology*, 12:147-179
17. Zawalich W. S. & Rasmussen H., 1990, Control of insulin secretion: a model involving Ca^{2+} , cAMP and diacylglycerol, *Mol. Cell. Endocrinol*, 70, 119.
18. Zhao A. Z., Bornfeldt K. E., Beavo J. A., 1998, Leptin inhibits insulin secretion by activation of phosphodiesterase 3B, *J. Clin Invest.*, 102:5869-73
19. Zhao A. Z., Zhao H., Teague J., Fujimoto W., Beavo J. A., 1997, Attenuation of insulin secretion by insulin-like growth factor 1 is mediated through activation of phosphodiesterase 3B, *Proc. Natl. Acad. Sci. USA*, 94: 7, 3223-8.
3. Hagstromtoft E., Boinder J., Eriksson S. & Arner P., 1995, Role of phosphodiesterase III in antilipolytic effect of insulin in-vivo, *Diabetes*, 44:1170.
4. Hargrove D. M., Nardone N. A. & Parker J. C., 1996, Comparison of the glucose dependency of glucagon-like peptide-1 (7-73) and glyburide in-vitro and in-vivo, *Metabolism*, 45:404.
5. Han P., Werber J., Surana M., Fleischer N., Michaeli T., 1999, The calcium/calmodulin-dependent phosphodiesterase PDE_{1C} down-regulates glucose-induced insulin secretion, *J. Biol. Chem.*, 274:32,22337-44
6. Holz G. G., Habener J. F., 1992, Signal transduction crosstalk in the endocrine system: pancreatic beta-cells and glucose competence concept, *Trends Biochem. Sci.*, 17:388-393
7. Manganiello V. C., Degerman E., 1992, Mechanisms for the rat adipocyte particulate cyclic-GMP-inhibited cyclic - GMP - inhibited cyclic AMP phosphodiesterase and its importance in the antilipolytic action of insulin. *Advances in Second Messenger Phospho. Res.*, 25:147-164.
8. Pang D. C., 1992, Tissue and species specificity of cardiac cAMP-Phosphodiesterase inhibitors. *Advances in Second Messenger Phospho. Res.*, 25:309-320.
9. Parker J.C., Vanvolkenburg M.A. & Andrew K. M., 1995, Cyclic AMP phosphodiesterase of human and rat islets of Langerhans: Contribution of type III and IV to modulation of insulin secretion. *Biochem. Biophys. Res. Commun*, 217, 916.
10. Parker J. C., Van Volkenburg M. A., Nardone N. A., Hargrove D. M., Andrews K. M., 1997, Modulation of insulin secretion and glycemia by selective inhibition of cyclic AMP phosphodiesterase III. *Biochem. Biophys. Res. Commun*, 236: 3, 665-9